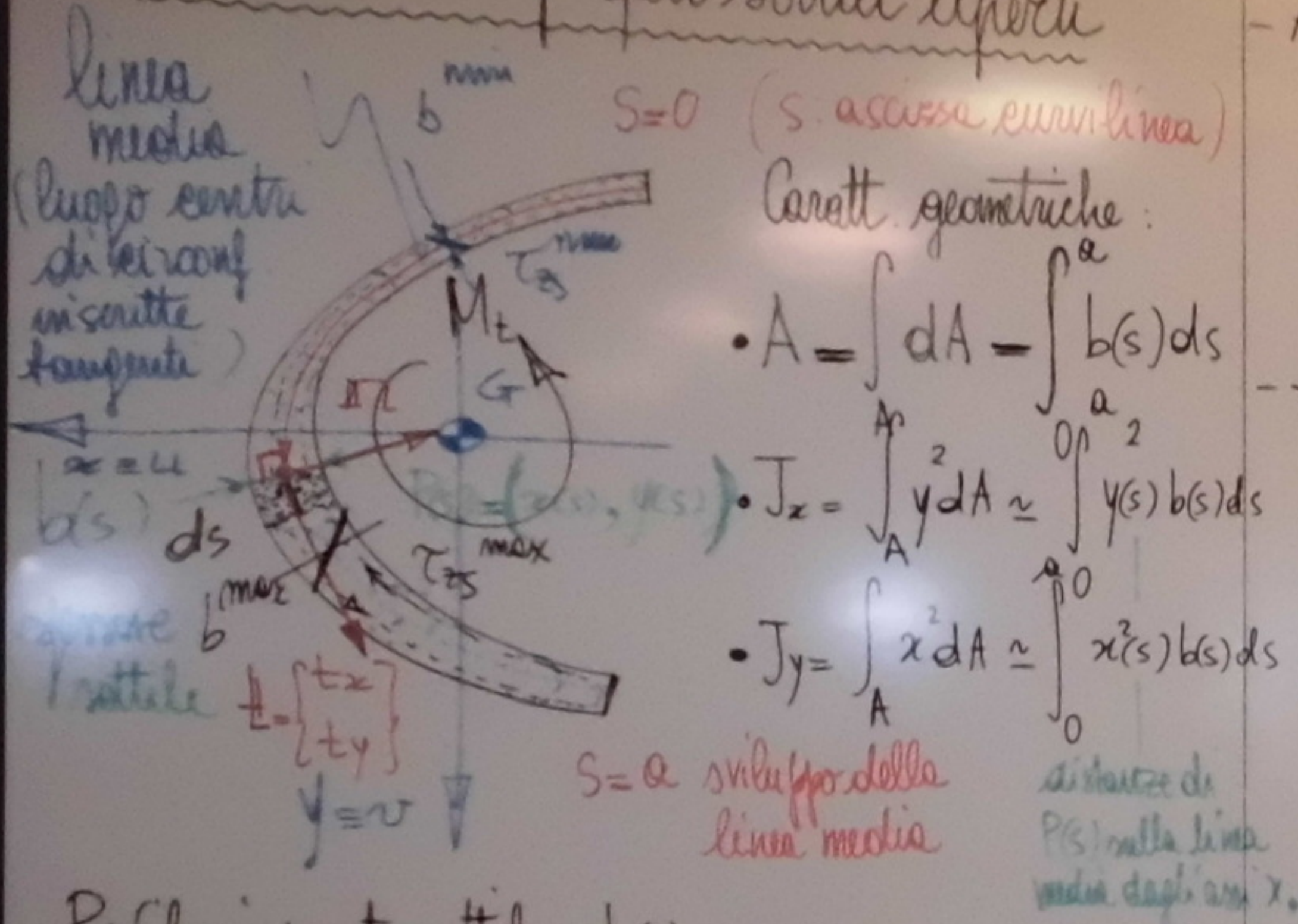


Torsione nei profili sottili aperti

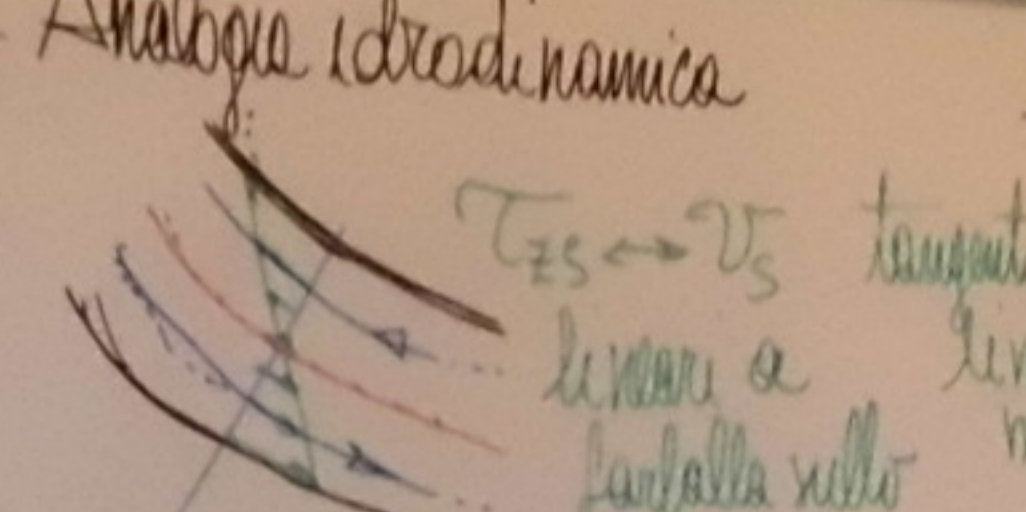


- Profilo in parte sottile: $b(s) \ll \alpha$

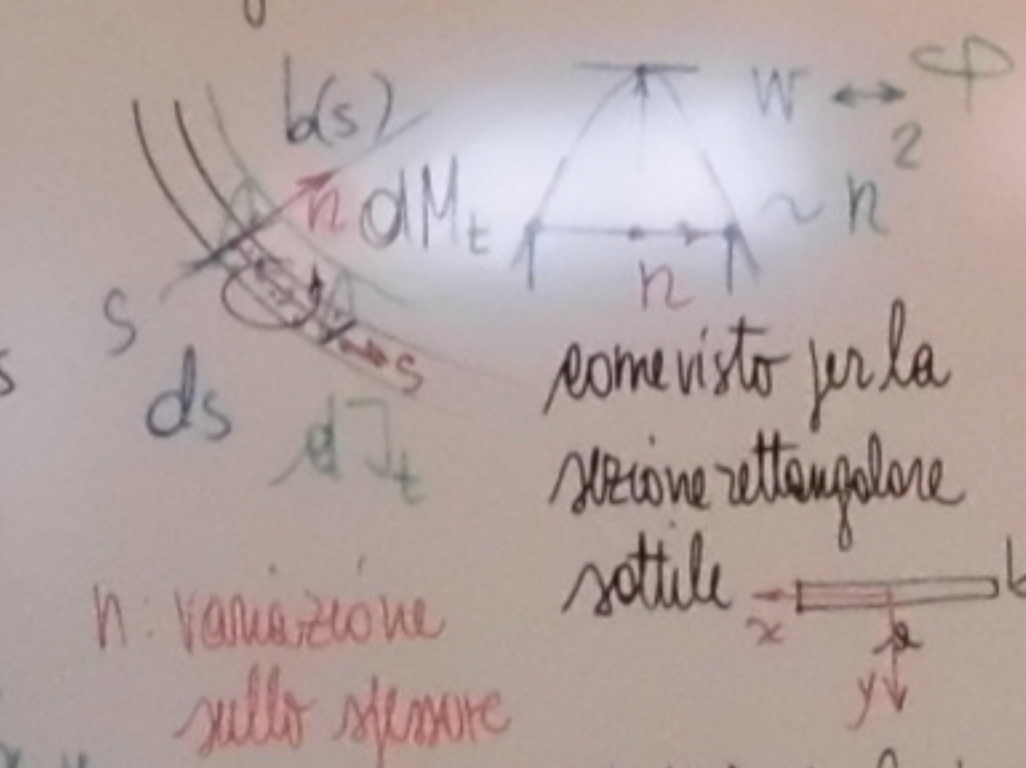
- Spessore sottile variabile con s non continuità e rimanendo puramente rettilineo: $\frac{ds}{ds} = b'(s) \ll 1$

potenziali concentrazioni di tensione

Analogia idrodinamica



Analogia della membrana



n : variazione sullo spessore

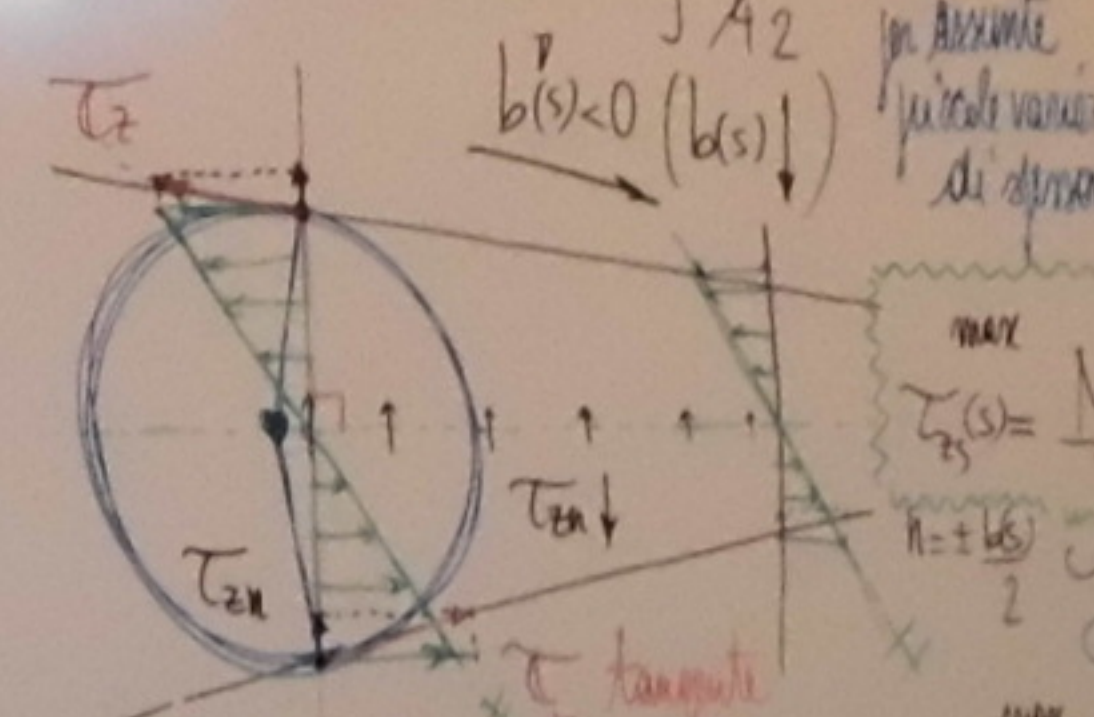
Si può ipotizzare di ricostruire le risposte dell'intero profilo come quella ottenibile dalla sovrapposizione dei contributi di infiniti rettangoli $b(s) ds$ con soluzioni simili a quella vista per il profilo rettangolare sottile.

Funzione di Airy locale

$$\varphi(s, n) = G \beta \left(\frac{b(s) - n}{4} \right)$$

$$T_{zs}(n) = \varphi_{,n} = \frac{M_t}{J} (-2n) = -\frac{2M_t n}{J} \quad J \approx 0$$

$$T_{zn}(s) = -\varphi_{,s} = \frac{M_t}{J} \frac{1}{4} (b(s) - n)^2 \approx 0$$



$$T_{zs}(s) = \frac{M_t}{J} \frac{L_s}{2}$$

$$T_{zn} = \frac{M_t}{J} b$$

N.B.: La torsione si suppone estesa per l'intera sezione (profilo sottile)

- Equazione statica

$$M_t = 2 \cdot \frac{G \beta}{J} \cdot \frac{L_s}{2}$$

att. trasversali di ingradimento del perimetro piano, in modo da garantire

la stessa rotazione $\frac{ds}{ds}$

$$b = \frac{M_t}{G \beta} = \frac{dM_t}{dG \beta}$$

$$J = \frac{1}{3} ds b^3$$

$$T_{zs} = \frac{M_t}{J} g$$

$$T_{zn} = \frac{M_t}{J} b$$

$$J = \frac{1}{3} ds b^3$$

$$T_{zs} = \frac{M_t}{J} g$$

$$T_{zn} = \frac{M_t}{J} b$$

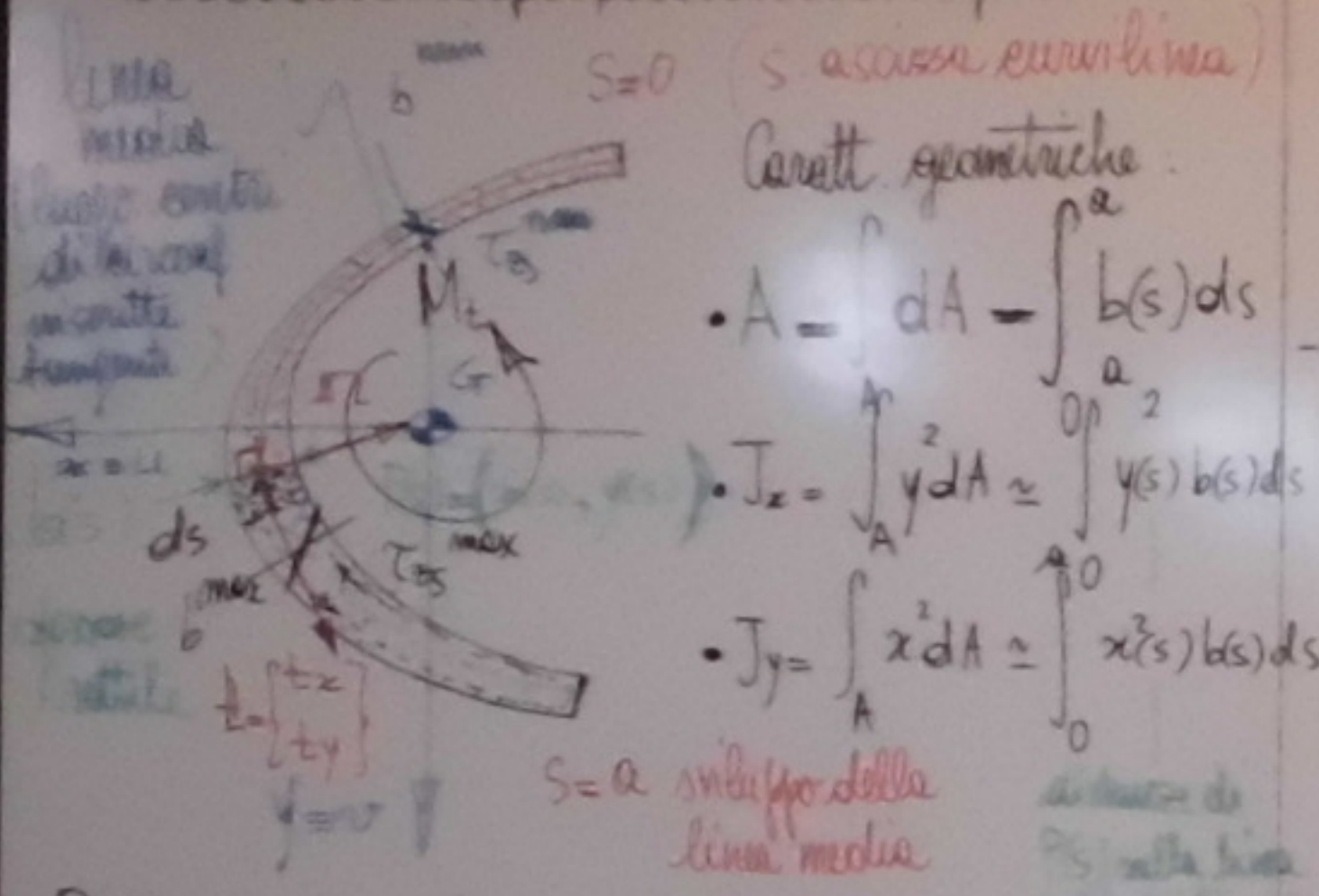
$$J = \frac{1}{3} ds b^3$$

$$T_{zs} = \frac{M_t}{J} g$$

$$T_{zn} = \frac{M_t}{J} b$$

$$J = \frac{1}{3} ds b^3$$

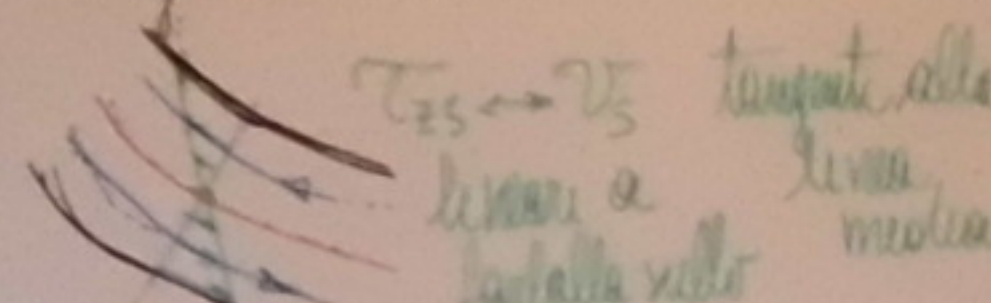
Torsione nei profili sottili aperti



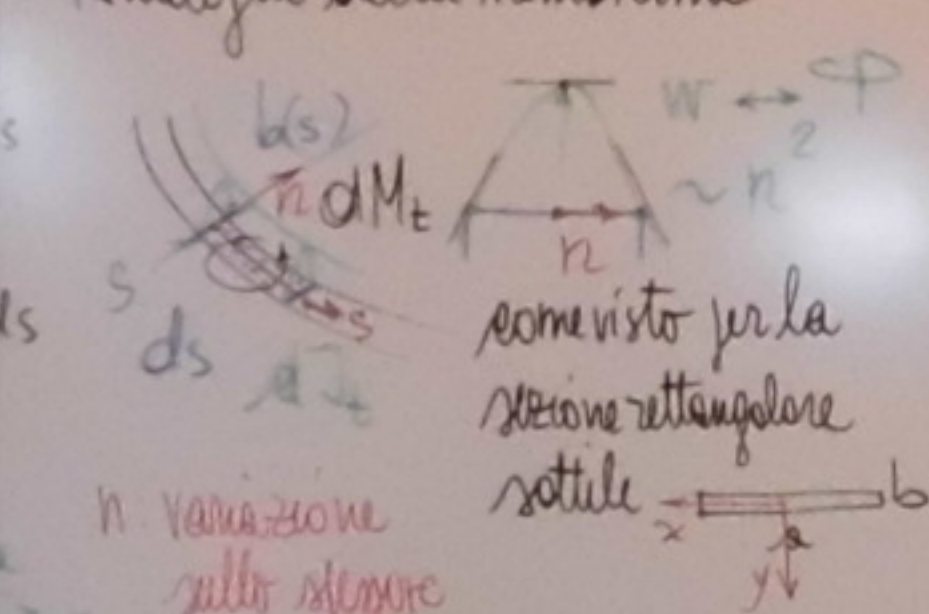
Profilo in parte sottile: $b(s) \ll a$

potenziali concentrazioni di
tensione

Analogie idrodinamica



Analogia della membrana

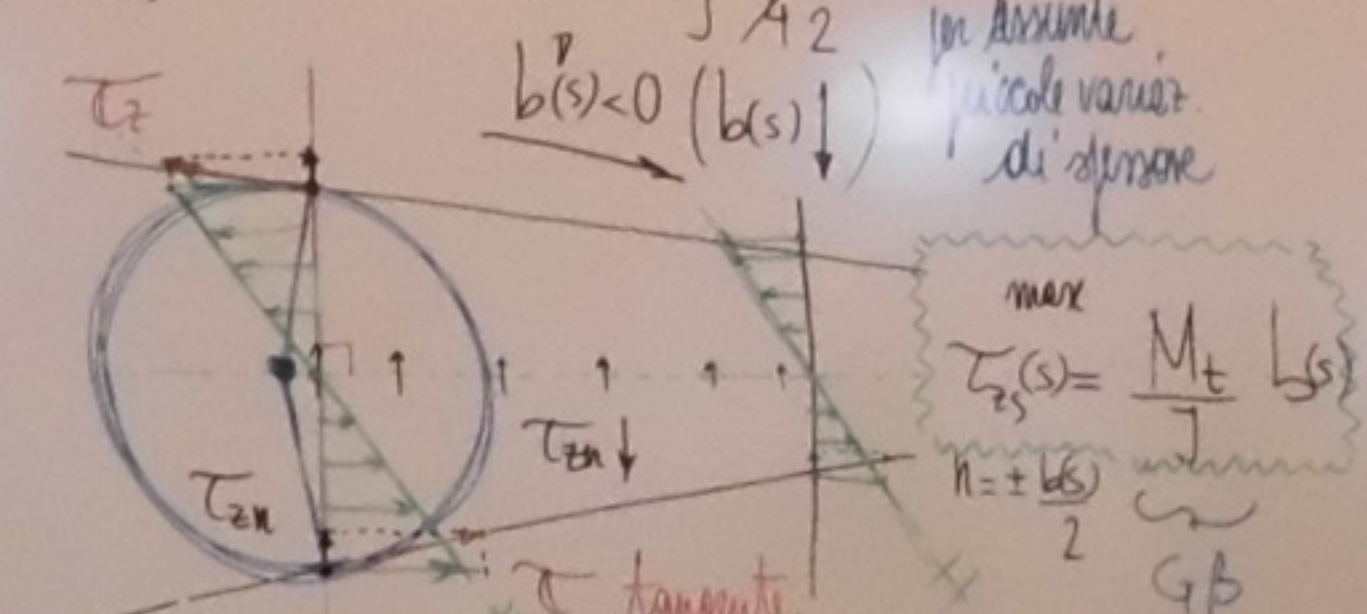


Si può ipotizzare di ricostruire la risposta dell'intere sezione come quella ottenuta dalla sovrapposizione dei contributi di infiniti rettangoli $b(s) ds$ con soluzioni simili a quelle fatte per il profilo rettangolare sottile.

Funzione di Airy locale:

$$\Phi(s, n) = \frac{M_t}{J} \left(\frac{b(s)}{4} - n^2 \right)$$

$$\left\{ \begin{array}{l} T_{25}(n) = \Phi_{,n} = \frac{M_t}{J} (-2n) = -\frac{2M_t}{J} n(s) \\ T_{25}(s) = -\Phi_{,s} = \frac{M_t}{J} \frac{1}{4} b(s) b'(s) \approx 0 \end{array} \right.$$



$$T_{25}(s) = \frac{M_t L_s}{J}$$

T_{25} tangente

T_{25} al centro

$$T_{25}(s) \text{ è max dove } b(s) \text{ è max}$$

$$T_{25}(s) \text{ presente, decrescente (in } b(s) \text{ decresce), è } \neq \text{ costante, ma trascurabile ai fini ingegneristici}$$

N.B.: La torsione β è suppose costante per l'intera sezione (profilo sottile)

Equivalenza statica

$$M_t = 2 \int_A \sigma dA \quad d\sigma \rightarrow b(s) ds$$

$$= 2 \int_A \frac{M_t}{J_a} \left(\frac{b^2}{4} - n^2 \right) dA$$

$$= 2 \frac{M_t}{J} \int_0^{b/2} \left(\frac{b^2}{4} - n^2 \right) dn ds$$

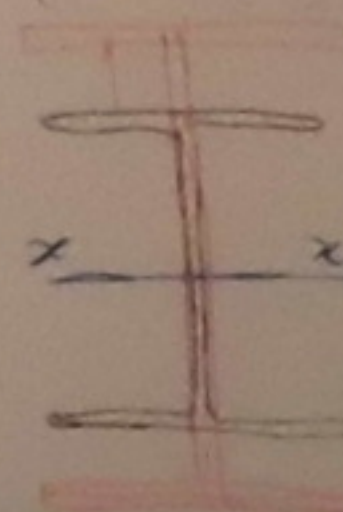
$$= 2 \frac{M_t}{J} \int_0^{b/2} \left[\frac{b(s)}{4} - \frac{n}{3} \right] ds \frac{1}{3}$$

$$\left(T_{25} = \frac{M_t}{J_x} y \right)$$

$$\beta = \frac{M_t}{GJ} = \frac{dM_t}{GdJ}$$

$$dJ = \frac{1}{3} ds b(s)^3$$

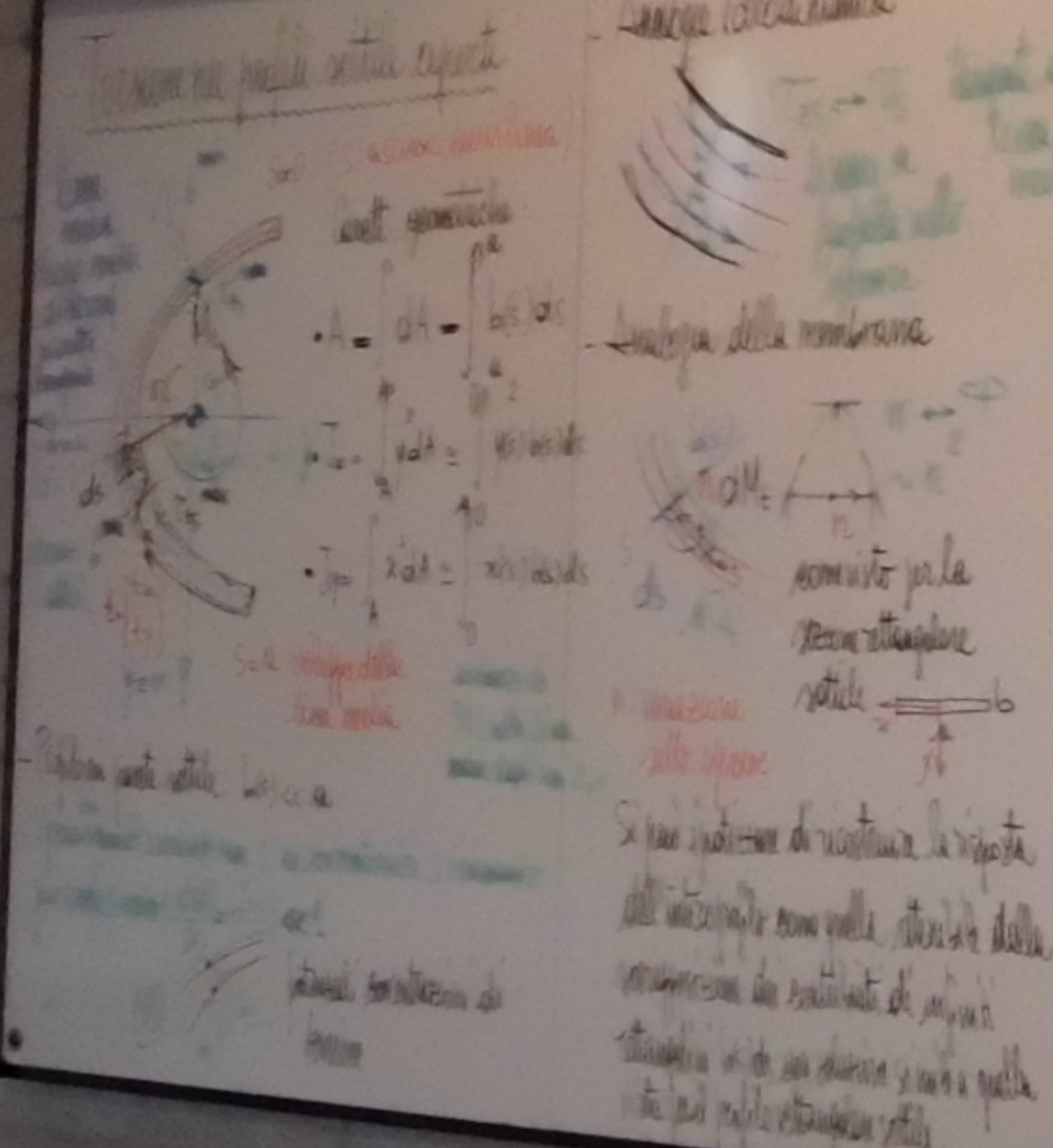
$$\int_0^{b/2} dJ = \frac{1}{3} \int_0^{b/2} b(s)^3 ds$$



$$= \frac{M_t}{J} \int_0^{b/2} \frac{1}{3} b(s)^3 ds \frac{1}{3}$$

$$= \frac{2}{3} \frac{M_t}{J} \int_0^{b/2} b(s)^3 ds$$

$$= \frac{2}{3} \frac{M_t}{J} \int_0^{b/2} b(s)^3 ds \frac{1}{3}$$



- Funzione di Airy locale:

$$\varphi(s, n) = \frac{G\beta}{4} \left(\frac{b(s)}{4} - n^2 \right)$$

$$l'intero in n$$

$$\begin{cases} T_{zS}(n) = \varphi_{,n} = \frac{M_t}{J} (-2n) = -\frac{2M_t}{J} n(s) \\ T_{zN}(s) = -\varphi_{,s} = \frac{M_t}{J} \frac{1}{2} b(s) b'(s) \approx 0 \end{cases}$$

$$T_t \quad b'(s) < 0 \quad (b(s))$$

$$T_{zS}(s) = \frac{M_t}{J} L(s)$$

$$n = \pm \frac{L(s)}{2}$$

$$T_z \text{ tangente al contorno}$$

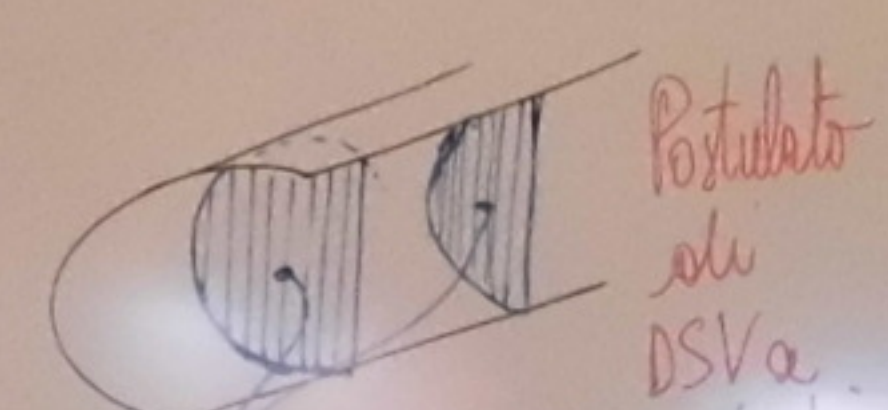
$$T_z = \frac{M_t}{J} b$$

$$\max$$

$$T_z(s) \text{ crescente (} b(s) \text{ crescente), e pu' quindi trascurabile}$$

$$\text{in dimensioni}$$

N.B.: La torsione β è supposta costante per l'intera sezione (profilo sottile):



Postulato
di
DSVa.
ricorso

setti trasversali di
rinfidimento del profilo nel
piano, in modo da garantire
la stessa rotazione β

$$\left(\beta_{zz} = \frac{M_x}{J_x} y \right)$$

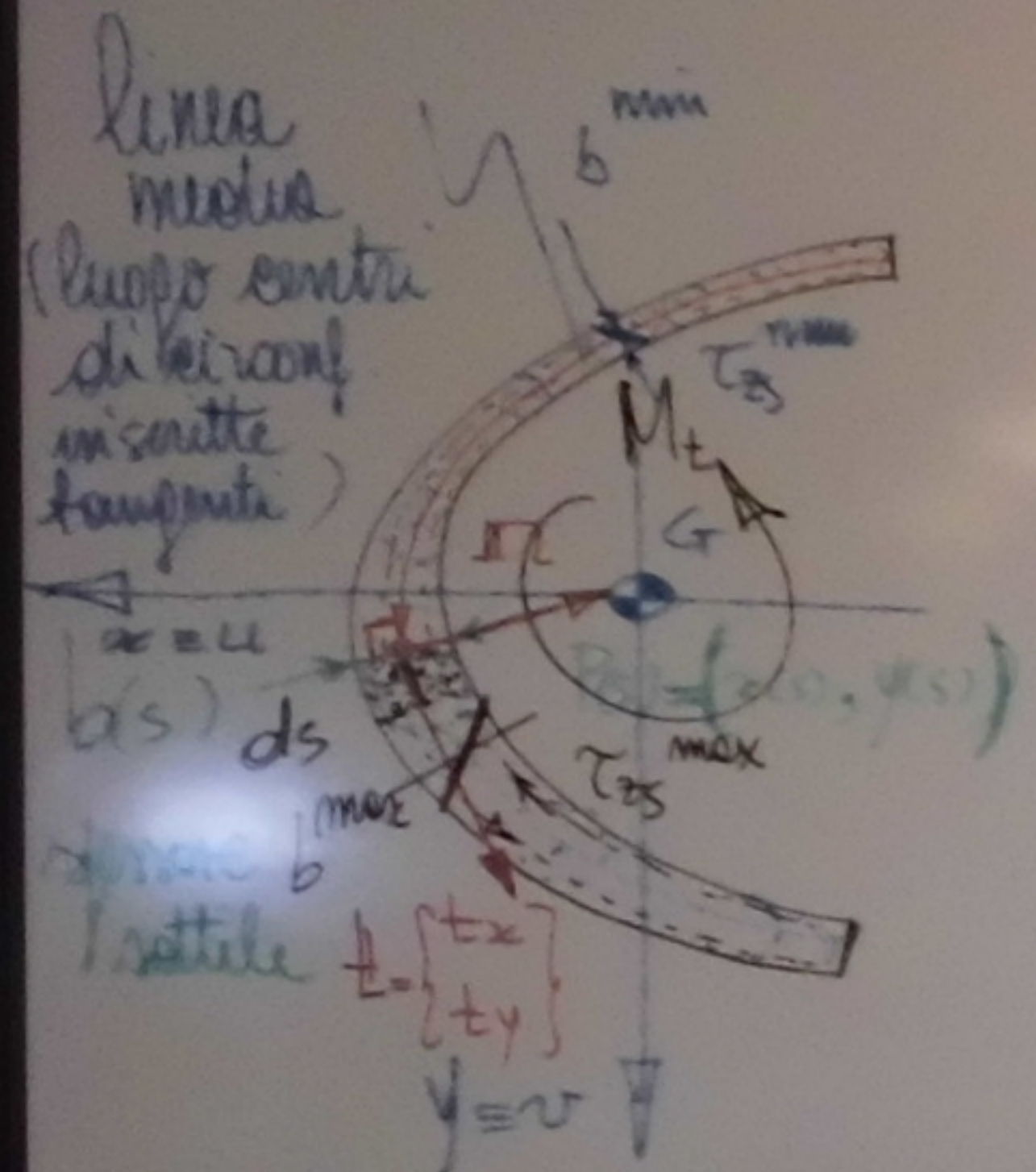
$$\beta = \frac{M_t}{GJ} = \frac{dM_t}{GdJ}$$

$$dJ = \frac{1}{3} ds b(s)^3$$

$$J = \int dJ = \frac{1}{3} \int b(s)^3 ds$$

- Equivalenze statica

$$\begin{aligned} M_t &= 2 \int_A 4pdA \quad dn ds \rightarrow b(s)ds \\ &= 2 \int_A \frac{M_t}{Ja} \left(\frac{b^2}{4} - n^2 \right) dA \\ &= 2 \frac{M_t}{J} \int_0^a \int_{-\frac{b(s)}{2}}^{\frac{b(s)}{2}} \left(\frac{b^2}{4} - n^2 \right) dn ds \\ &= 2 \frac{M_t}{J} \int_0^a \left[\frac{b(s)}{4} - \frac{n^3}{3} \right]_{-b/2}^{+b/2} ds \quad \frac{2}{3} \\ &= \frac{M_t}{J} \int_0^a \frac{1}{3} b(s)^3 ds \quad \frac{3}{84} = \frac{1}{42} b^3 \left(1 - \frac{1}{3} \right) = \frac{1}{6} b(s)^3 \\ &\Rightarrow J = \int_0^a \frac{1}{3} b(s)^3 ds = \frac{1}{3} \int_0^a b(s)^3 ds \quad \text{fondo} : \sim b(s)^3 \\ &\quad \text{b} = \text{cost} \quad \frac{1}{3} ab^3 \end{aligned}$$



$$\Pi = \begin{Bmatrix} n_x \\ n_y \end{Bmatrix} = \begin{Bmatrix} -t_y \\ t_x \end{Bmatrix}$$

$\det \Psi_4(s)$

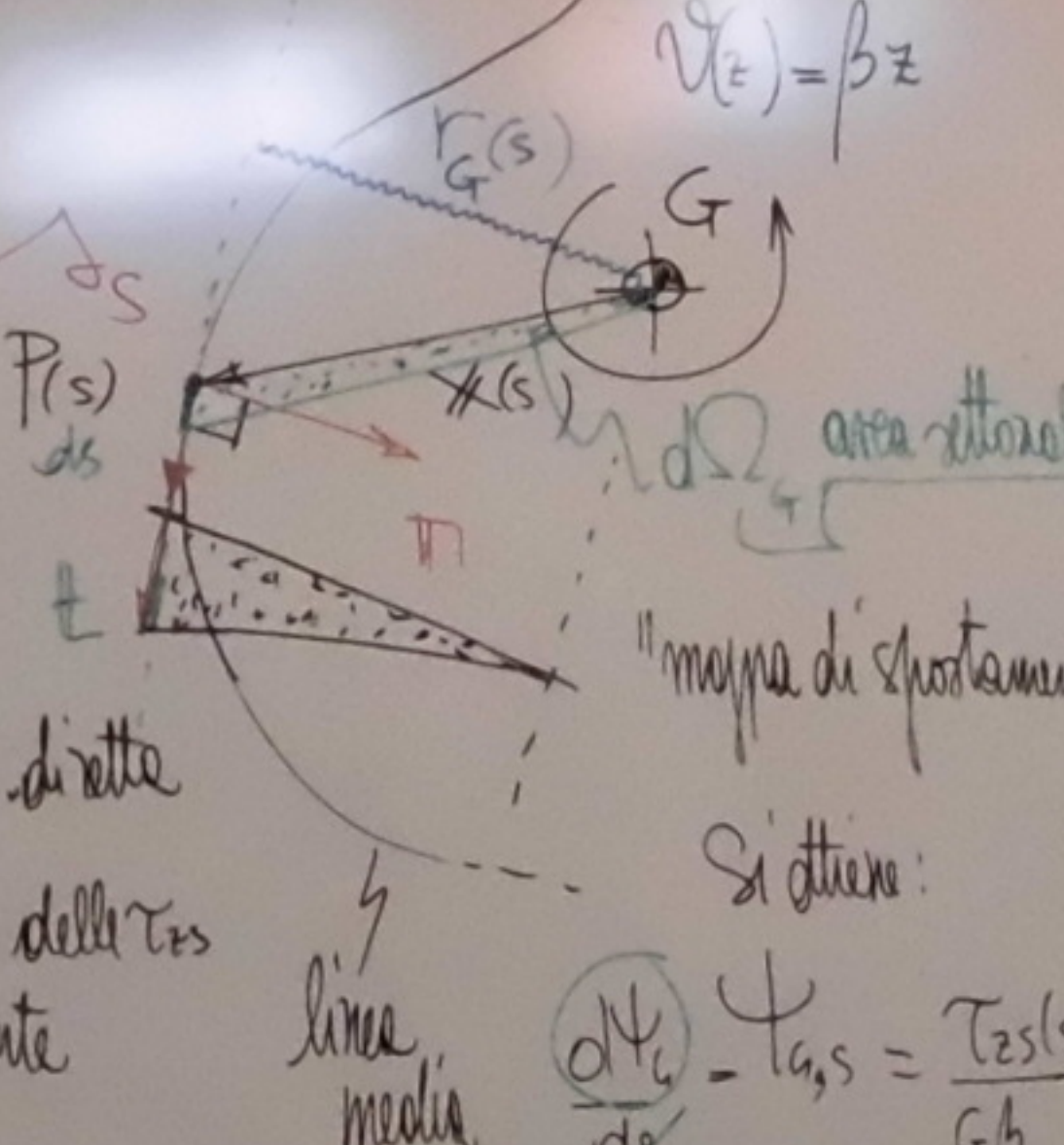
Funzione di ingombramento (rifatta alla linea media)
 Campo di spost. (di $P(s) = (x(s), y(s))$)

$$\left\{ \begin{array}{l} \Delta_x = -\beta z y(s) \\ \Delta_y = \beta z x(s) \\ \Delta_z = \beta \Psi_4(s) \end{array} \right.$$

ingombramento nullo sulla linea media
 ~~$C \neq G$~~

$\Psi_4 = \Psi_4(s) \neq 0$
 ingombramento non nullo, rifatto
 alla linea media.
 approccio agli spost. per una diretta
 relazione tra Ψ_4 e Φ

per una diretta
 relazione tra Ψ_4 e Φ



$$\left\{ \begin{array}{l} \Delta_x = -\beta z y(s) \\ \Delta_y = \beta z x(s) \\ \Delta_z = \beta \Psi_4(s) \end{array} \right. \quad s = \frac{\Delta}{A} \cdot t$$

$$\begin{aligned} \Psi_4(s) &= -2(\bar{\Omega}_4(s) - \bar{\Omega}_2(s)) \\ &= 2(\bar{\Omega}_4(s) - \bar{\Omega}_4(s)) \\ &= \Delta_x t_x + \Delta_y t_y \\ &= \beta z (-y t_x + x t_y) \quad \bar{\Omega}_4 = \frac{1}{A} \int \Omega_4(s) b(s) ds \\ &= \beta z (-y n_y - x n_x) \quad \text{valore medio della} \\ &= -\beta z (x n_x + y n_y) \quad \text{funzione area} \\ &= \beta z r_4(s) \frac{x \cdot \Pi}{-r_4(s)} \quad \text{attoriale} \end{aligned}$$

$$\Psi_4(s) \sim \bar{\Omega}_4(s)$$

$$\frac{T_{23}}{G} = \bar{\Omega}_4 s + \Delta_z s_z$$

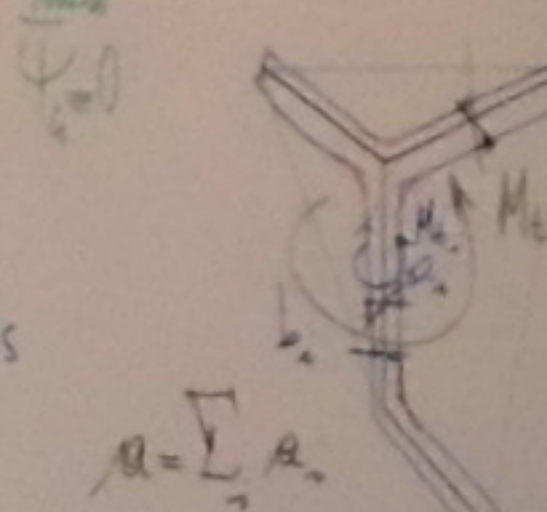
Si ottiene:

$$\frac{d\Psi_4}{ds} - \bar{\Omega}_{4,s} s = \frac{T_{23}(s) ds - 1/2 r_4(s) ds}{G \beta} \Rightarrow d\Psi_4 = \frac{T_{23}(s) ds - 1/2 r_4(s) ds}{G \beta}$$

$$x_c = -\frac{1}{J_2} \int_0^a \Psi_4(s) y(s) b(s) ds$$

$$y_c = \frac{1}{J_2} \int_0^a \Psi_4(s) x(s) b(s) ds$$

- Profili simmetrici



$$A = \sum A_i$$

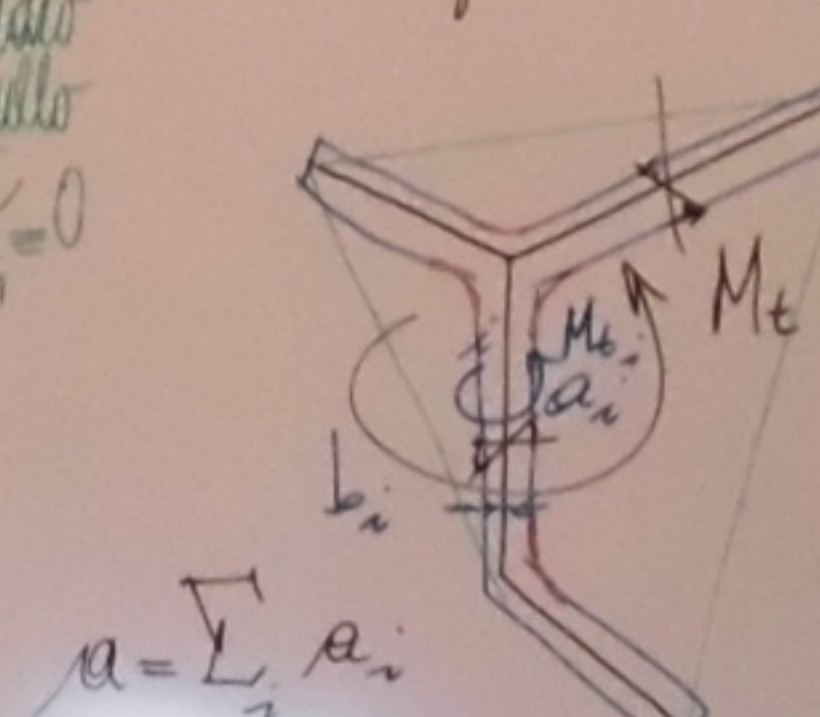
$$J_{xx} = \sum J_{xx,i}$$

$$J_{yy} = \sum J_{yy,i}$$

$$J_{xy} = \sum J_{xy,i}$$

$$I = \sum I_i$$

- Profili sottili formati da Pittangolari sottili



$$A \simeq \sum a_i b_i$$

$$J_x = \sum_j J_{xj}$$

$$T = \sum_j T_j = \sum_i 1 A_i b_i^3$$

$$\beta = \frac{M_t}{G} =$$

$$\left\{ \begin{array}{l} T_{2S_i}^{\max} = \frac{M_{t,i}}{J_i} b_i = \frac{M_t}{J} b_i \\ T_{2S}^{\max} = M_t b^{\max} \end{array} \right.$$

$$T_{2S} = \frac{M_A}{J} b$$

linear in s_i ($r_{S,i} = \cos\theta$)

Profili sottili a stelle



no indubbiamente rispetto

$$\gamma_c = 0$$

riportate al
centro delle
stelline

$$\Omega_{C\infty}$$